



## کانی‌شناسی و سنگ‌شناسی، سنگ‌های آتشفسانی گستره‌ی گل‌چشم، جنوب نیشابور، شمال شرق ایران

اعظم انتظاری هرسینی<sup>۱</sup>، سید احمد مظاہری<sup>۱\*</sup>، سعید سعادت<sup>۲</sup>

۱- گروه زمین‌شناسی، دانشکده علوم، دانشگاه فردوسی مشهد، مشهد، ایران

۲- گروه زمین‌شناسی، واحد مشهد، دانشگاه آزاد اسلامی، مشهد، ایران

(دریافت مقاله: ۹۴/۶/۱، نسخه نهایی: ۹۴/۱۰/۵)

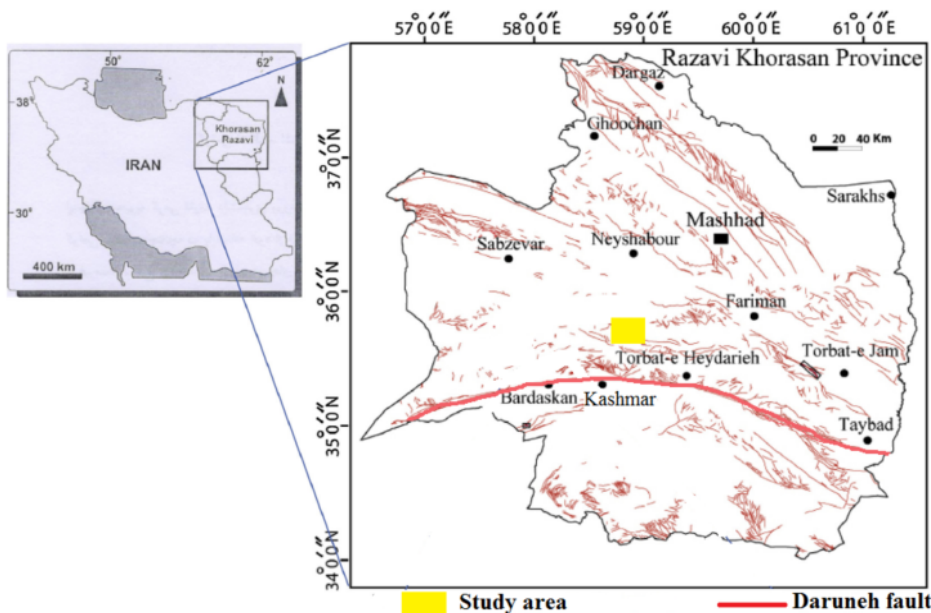
**چکیده:** گستره‌ی مورد بررسی در ۲۲۰ کیلومتری جنوب غربی مشهد، و ۸۰ کیلومتری جنوب نیشابور و در گستره‌ای بین طول‌های شرقی "۴۰° ۳۰' ۵۸" الی "۴۴° ۳۰' ۵۸" و عرض‌های شمالی "۳۵° ۴۷' ۰۰" الی "۳۵° ۵۲' ۰۰" قرار گرفته است و در پهنه‌ی ساختاری سبزوار قرار دارد. واحدهای زمین‌شناسی منطقه بیشتر شامل سنگ‌های آتشفسانی به سن ائوسن با ترکیب تراکیت، تراکی آندزیت و تراکی آندزیت بازالت بوده که در بعضی قسمت‌ها تحت تاثیر دگرسانی آرژیلیک، کربناتی و پروپیلیتیک قرار گرفته‌اند. فنوکریست‌های غالب در این سنگ‌ها کانی‌های پلازیوکلاز، فلدسپات قلیایی، هورنبلند سوخته و پیروکسن است. بافت سنگ‌های آتشفسانی منطقه عمدهاً پورفیری با زمینه ریز دانه تا میان دانه است. تجزیه‌ی شیمیایی نشان دهنده ماهیت آهکی- قلیایی این سنگ‌هاست. غنی‌شدگی عناظر LILE (به غیر از Ba) و تهی شدگی عناظر HFSE در این سنگ‌ها قابل مشاهده است. غنی‌شدگی عناظر REE نسبت به عناظر HREE نشانه‌ی تشکیل ماقما در محیط فروزانش است که این خصوصیت نیز در سنگ‌های آتشفسانی منطقه‌ی گل‌چشم به خوبی دیده می‌شود. نمودارهای زمین‌ساختی و ژئوشیمی سنگ‌های آتشفسانی منطقه بیانگر محیط زمین-ساختی قوس آتشفسانی قاره‌ای است. نسبت پایین N (La/Yb)<sub>5/3-9/3</sub> و Ce/Yb<sub>4/2-7/2</sub> نشان دهنده ذوب بخشی پایین و عمق کم تشکیل ماقما و کم بودن گارنت در خاستگاه است. به نظر می‌رسد که گدازه‌های منطقه گل‌چشم از ذوب بخشی حدود ۲ الی ۵ درصدی گوه گوشته‌ای در عمق اسپینل- گارنت لرزولیتی با مقدار گارنت پایین به همراه آلودگی کم با پوسته ریشه گرفته‌اند.

**واژه‌های کلیدی:** گل‌چشم، پهنه سبزوار، سنگ‌های آتشفسانی، ذوب بخشی، آهکی- قلیایی

- غربی از سبزوار تا مرز افغانستان ادامه دارد. در این زیر پهنه سنگ‌های بالتوzoئیک و مزوتوئیک بروندز محدود دارند. بروندزهای سنگی مهم این زیر پهنه، مجموعه‌های افیولیتی سبزوار و تربت حیدریه‌اند که خاستگاه اقیانوسی دارند، این سنگ‌ها میزبان ذخایر گوناگونی از نوع کرومیت، منیزیت، هونتیت و غیره هستند. این مجموعه‌های آتشفسانی به اوایل ترشیری (ائوسن) در زون ساختاری سبزوار دیده می‌شوند که بیشتر از شمال بردskن تا شمال تربت حیدریه و نزدیک مرز افغانستان (در

**مقدمه**  
گستره مورد بررسی در ۲۲۰ کیلومتری جنوب غربی مشهد، ۸۰ کیلومتری جنوب نیشابور و گستره‌ای بین طول‌های شرقی "۴۰° ۳۰' ۵۸" الی "۴۴° ۳۰' ۵۸" و عرض‌های شمالی "۳۵° ۴۷' ۰۰" الی "۳۵° ۵۲' ۰۰" قرار گرفته است. این منطقه در شمال شرق پهنه‌ی ایران مرکزی و در زیر پهنه ساختاری سبزوار در شمال گسل درونه واقع شده است [۳-۱] (شکل ۱). زیرپهنه‌ی ساختاری سبزوار شامل گستره‌ای محدود بین گسل میامی - سنگ بست و گسل درونه است که در یک روند تقریبی شرقی

\*نویسنده مسئول، تلفن: ۰۵۱۳۸۷۹۷۲۷۵، نامبر، پست الکترونیکی: Mazaheri@ferdowsi.um.ac.ir



شکل ۱ موقعیت جغرافیایی منطقه‌ی مورد مطالعه.

عناصر فرعی و خاکی نادر سنگ‌های آتشفسانی).  
۵- بررسی نتایج حاصل از آنالیزهای فوق و استفاده از نرم-افزارهای ArcMap و GCDkit

#### زمین‌شناسی و سنگ‌نگاری

منطقه‌ی مورد بررسی در گستره‌ی نقشه زمین‌شناسی ۱:۱۰۰۰۰۰ کدکن قرار دارد، بر اساس نقشه‌ی یاد شده واحدهای سنگی منطقه به پالتوژن تعلق دارند. با توجه به بررسی‌های صحرایی و آزمایشگاهی، نقشه زمین‌شناسی منطقه در مقیاس ۱:۲۵۰۰۰ تهیه شد که بر اساس این بررسی‌ها، سنگ‌های آندزیتی زیر مشخص شدند و معلوم شد که در منطقه علاوه بر سنگ‌های آندزیتی، توف و کربنات رخنمون دارند (شکل ۲).

- پیروکسن هورنبلند آندزیت: این واحد در بخش جنوبی منطقه مشاهده می‌شود، و دارای بافت پورفیری با زمینه ریز دانه تا میان بلور جریانی است (شکل ۳ الف). که حاوی فنوکریستهای شکل‌دار پلاژیوکلاز با ماکل پلی سنتیک (۸ الی ۱۷ درصد)، نیمه شکل‌دار، هورنبلند سوخته (۶ الی ۸ درصد) و پیروکسن (۱ الی ۲ درصد) است. که در زمینه‌ی بلورهای پلاژیوکلاز قابل مشاهده‌اند.

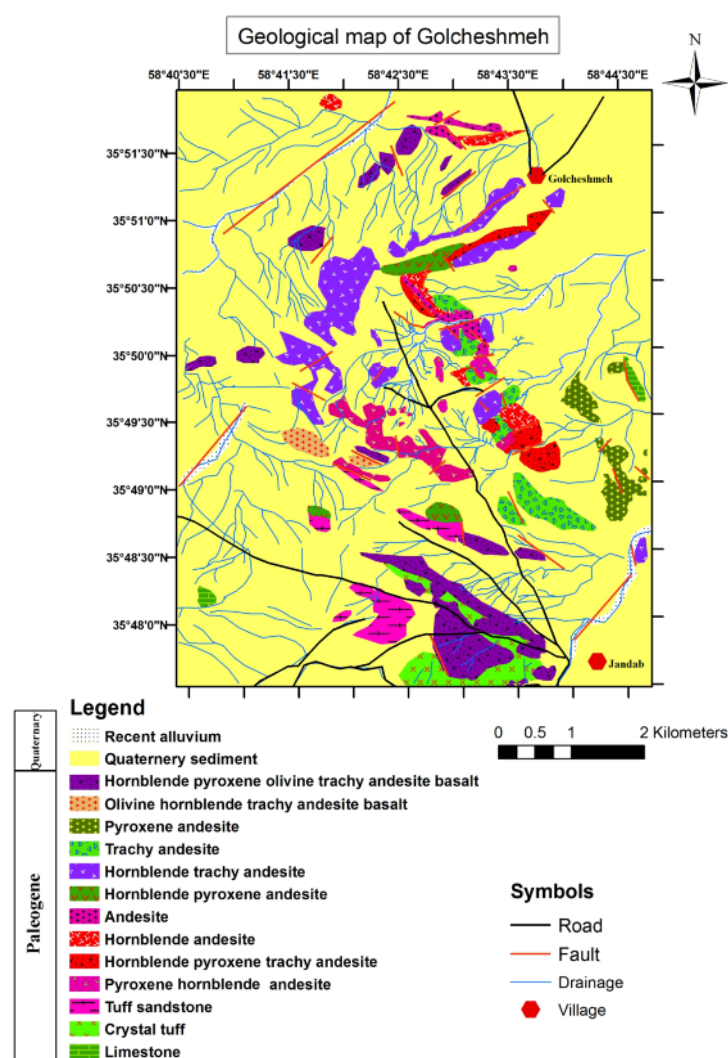
- هورنبلند پیروکسن تراکی آندزیت: واحد یاد شده در بخش مرکزی، جنوب شرقی و شمال منطقه مشاهده می‌شود.

شمال گسل درونه رخنمون دارند، در این گروه سنگ‌ها ذخایری از مس (دهن قلعه، تکنار)، سرب و روی (تکنار)، آنتیموان (چلپو) و طلا (ارغش، کوه زر) وجود دارند. هدف از این پژوهش بررسی‌های سنگ‌شناسی، تهیه‌ی نقشه‌ی زمین‌شناسی دقیق، تولید داده‌های ژئوشیمیایی و جایگاه زمین ساختی سنگ‌های آتشفسانی منطقه است.

#### روش بررسی

این مقاله به سنگ‌شناسی و ژئوشیمی و جایگاه زمین‌ساختی سنگ‌های آتشفسانی منطقه می‌پردازد که مراحل مختلف انجام شده شامل موارد زیرند:

- بازدید صحرایی، برداشت نمونه‌های سنگی از واحدهای مختلف منطقه و تهیه ۱۵۰ مقطع نازک میکروسکوپی برای بررسی‌های سنگ‌نگاری.
- تهیه‌ی نقشه‌ی زمین‌شناسی با مقیاس ۱:۲۵۰۰۰ مورد نظر بر مبنای پیمایش صحرایی و بررسی مقاطع نازک میکروسکوپی.
- نمونه برداری و ۲۰ آنالیز XRF در شرکت کانساران بینالود ایران با یک دستگاه فیلیپس مدل PW 1480 برای اندازه‌گیری اکسیدهای اصلی سنگ‌های آتشفسانی منطقه.
- ۲۰ آنالیز ICP-MS در آزمایشگاه ACME کانادا (آماده‌سازی نمونه‌ها به روش ذوب قلیایی برای اندازه‌گیری

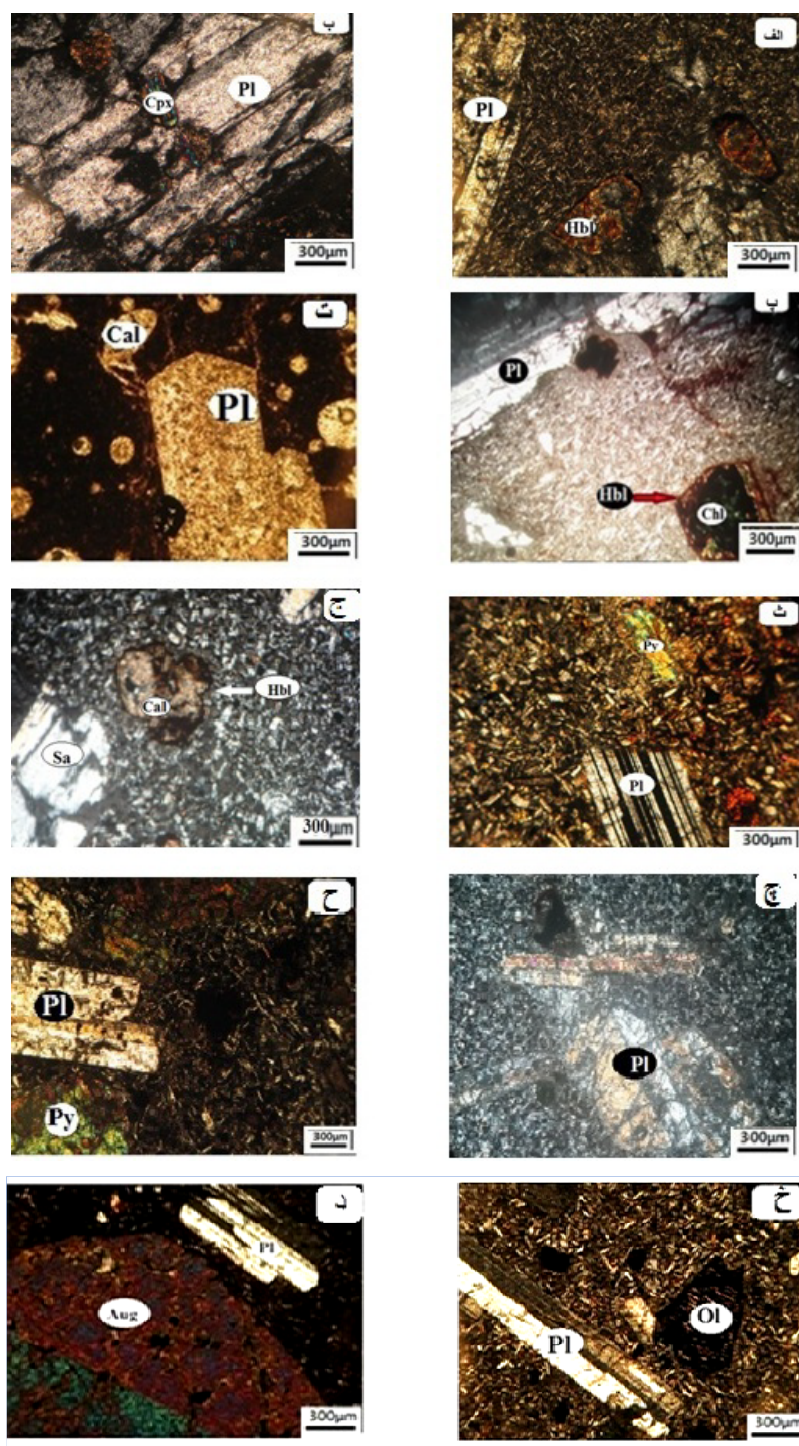


شکل ۲ نقشه‌ی زمین‌شناسی تهیه شده از منطقه‌ی مورد بررسی در مقیاس ۱:۲۵۰۰۰.

واحد، پورفیری با خمیره ریزدانه تا میان‌بلور جریانی است در بعضی بخش‌ها پلاژیوکلاز در زمینه قابل مشاهده است. بافت فرعی پویی کلیتیک و نیز بادامکی که حفره‌ها با اکسید آهن، کربنات و اپیدوت پوشده‌اند؛ در این واحد مشاهده می‌شوند. فنوکریستهای پلاژیوکلاز شکل‌دار با رد پلی سنتتیک (۳ الی ۸ درصد) و نیمه شکل‌دار هورنبلند سوخته (۳ الی ۵ درصد) در این سنگ‌ها به خوبی قابل مشاهده‌اند. تبدیل پلاژیوکلاز و هورنبلند به کربنات، اپیدوت، کلریت و کانی‌های رسی (۲۰-۲۵ درصد) نیز مشاهده می‌شود. زمینه نیز در بعضی نقاط کربناتی و اپیدوتی شده است (شکل ۳ پ). دگرسانی کربناتی و آرژیلیک با شدت متوسط در این واحد قابل مشاهده است.

- دارای بافت پورفیری با زمینه‌ی ریز دانه تا میان دانه و ریزبلوری است. بافت پویی کلیتیک نیز در این واحد مشاهده می‌شود (شکل ۳ ب). که دارای فنوکریستهای با شکل کامل، پلاژیوکلاز با ماکل پلی سنتتیک (۲ الی ۷ درصد)، سانیدین با ماکل کالسیباد (۳ الی ۵ درصد) و نیمه شکل دار، پیروکسن (۲ الی ۳ درصد) و هورنبلند سوخته (۱ الی ۲ درصد) است. تبدیل شدگی پلاژیوکلازها و هورنبلند به کربنات (۱۰-۱۵ درصد) و مقدار کمی اپیدوت را می‌توان در بعضی مناطق مشاهده کرد، که نشان دهنده‌ی دگرسانی کربناتی و پروپیلیتیک باشد ضیف است.

- هورنبلند آندزیت: واحد هورنبلند آندزیت در بخش مرکزی، شمال و شمال‌غربی منطقه گسترش یافته است. بافت این



شکل ۳ تصاویر برگرفته از مقاطع نازک سنگ‌های آتشفشاری منطقه؛ (الف) فنوکریست پلازیوکلاز در زمینه‌ی ریزبلور جریانی در پیروکسن هورنبلند آندزیت. (ب) بافت پویی کلیتیک در هورنبلند پیروکسن آندزیت. (پ) فنوکریست‌های پلازیوکلاز و هورنبلند در یک زمینه ریزدانه جریانی در سنگ هورنبلند آندزیت که هورنبلند در مرکز به کلریت تبدیل شده است. (ت) فنوکریست پلازیوکلاز در سنگ آندزیت شیشه‌ای که تبدیل پلازیوکلاز و زمینه به کربنات به همراه بافت بادامکی که حفره‌ها به وسیله‌ی کلسیت پر شده‌اند در سنگ آندزیت قابل مشاهده است. (ث) فنوکریست‌های پلازیوکلاز و پیروکسن در یک زمینه‌ی میان دانه در هورنبلند پیروکسن آندزیت. (ج) فنوکریست سانیدین و هورنبلند سوخته و تبدیل هورنبلند به کربنات در هورنبلند تراکی آندزیت. (ج) بافت گلومروپورفیری در تراکی آندزیت (ح) فنوکریست‌های پلازیوکلاز و پیروکسن در زمینه‌ی ریزبلوری در پیروکسن آندزیت. (خ) فنوکریست‌های پلازیوکلاز و الیوین ایدینگزیتی شده در سنگ الیوین هورنبلند تراکی آندزیت بازالت. (د) فنوکریست پلازیوکلاز و پیروکسن اوزیت که رد اوزیتی نیز در سنگ هورنبلند پیروکسن الیوین تراکی آندزیت بازالت، قابل مشاهده‌اند.

- پیروکسن آندزیت: پیروکسن آندزیت در بخش شرقی منطقه گسترش دارد. این واحد دارای بافت پورفیری و گلوموروپورفیری با زمینه ریز دانه تا میان بلور و در مناطقی بافت ریزبلوری است که در گاهی همراه با بلورهای پلاژیوکلاز در زمینه، قابل مشاهده است. فنوکریستهای پلاژیوکلاز شکل دار با رد چند ترکیبی (۳ تا ۱۲ درصد) و پیروکسن نیمه شکل-دار (۲ الی ۸ درصد) قابل مشاهده‌اند. در بعضی قسمت‌ها تبدیل فنوکریست پلاژیوکلاز و زمینه به کربنات و اپیدوت (۵-۱۰ درصد) مشاهده می‌شود (شکل ۳.ج).
- الیوین هورنبلند تراکی آندزیت بازالت: این واحد مورد بررسی در بخش جنوب غربی گسترش دارد، و دارای بافت پورفیری با زمینه‌ی میان دانه است. فنوکریستهای پلاژیوکلاز با شکل کامل و رد پلی سنتتیکی (۲۰ الی ۲۵ درصد)، سانیدین شکل دار با رد کالسیباد (۵ الی ۷ درصد)، هورنبلنسوخته نیمه شکل دار (۷ الی ۱۰ درصد) و الیوین شکل دار (۳ الی ۵) دیده می‌شوند. در الیوین‌ها ایدنگریتی شدن به روشنی مشاهده می‌شود (شکل ۳.خ).
- هورنبلند پیروکسن الیوین تراکی آندزیت بازالت: این واحد در بخش جنوب، شمال و شمال شرقی مشاهده می‌شود و دارای بافت پورفیری با زمینه‌ی ریزبلوری است. فنوکریستهای شکل دار، پلاژیوکلاز با رد پلی سنتتیک و در بعضی قسمت‌ها دارای منطقه‌بندی (۲۵ الی ۳۰ درصد)، سانیدین با رد کالسیباد (۳ الی ۵ درصد)، الیوین (۱۵ الی ۲۰)، پیروکسن (حدود ۱۰ الی ۱۵ درصد) و نیمه شکل دار هورنبلند سوخته (۸ الی ۱۰ درصد) دیده می‌شود. ایدنگریتی شدن الیوین‌ها کاملاً مشهود و پیروکسن‌ها ماکل اوژیتی را نشان می‌دهند (شکل ۳.د).

#### ژئوشیمی و سنگ‌زایی

از مجموع ۱۴۶ نمونه برداشت شده از سنگ‌های آندزیتی منطقه، بررسی سنگ‌نگاری انجام و با توجه به شواهد و روابط صحرایی ۲۰ نمونه با کمترین اثر دگرسانی‌های تأخیری، به منظور آنالیز عناصر اصلی، به روش XRF، انتخاب شد (موقعیت نمونه‌ها و نوع سنگ بر اساس بررسی‌های سنگ نگاری مقاطع نازک میکروسکوپی در جدول ۱ آمده‌اند). پس از بررسی نتایج آنالیز عناصر اصلی این نمونه‌ها، به منظور بررسی عناصر کمیاب و خاکی نادر به روش ICP-MS تجزیه شدند (جدول ۲).

- آندزیت: این واحد در بخش مرکزی و شمال منطقه قابل مشاهده است. بافت این واحد، پورفیری و گلوموروپورفیری با زمینه ریزدانه تا شیشه‌ای است. در بیشتر مناطق علاوه بر بافت پورفیری، بافت فرعی بادامکی نیز مشاهده می‌شود. این حفره‌ها به‌وسیله‌ی کربنات، کلریت و یا سیلیس بی‌شکل پر شده‌اند. فنوکریست غالب موجود در این سنگ‌ها، پلاژیوکلاز با شکل کامل (۵ الی ۱۰ درصد) است، کمتر از دو درصد نیز هورنبلند سوخته یا پیروکسن دیده می‌شود. فنوکریستهای پلاژیوکلاز و زمینه، تبدیل شدن به کربنات (۵۰-۷۰٪) را نشان می‌دهند (شکل ۳.ت). دگرسانی به شدت در این واحد دیده می‌شود.
- هورنبلند پیروکسن آندزیت: این واحد در بخش مرکزی شمال و غرب منطقه گسترش دارد، و دارای بافت پورفیری با خمیره‌ی دانه میان است که پلاژیوکلازها در زمینه قابل مشاهده‌اند. این واحد دارای فنوکریستهای پلاژیوکلاز شکل دار با ماکل پلی سنتتیک (۱۵ الی ۳۰ درصد)، پیروکسن نیمه شکلدار (۲ الی ۸ درصد) و هورنبلند سوخته نیمه شکل دار (۵ الی ۱۰ درصد) است. تبدیل پلاژیوکلاز به کانی‌های رسی و کربناتی، تبدیل پیروکسن و هورنبلند به کلریت قابل مشاهده است. دگرسانی کربناتی و پروپلیتیکی با شدت ضعیف در این سنگ‌ها دیده می‌شوند.
- هورنبلند تراکی آندزیت: واحد هورنبلند تراکی آندزیت در بخش مرکزی و شمال شرقی منطقه گسترش دارد. بافت این واحد، پورفیری با خمیره ریزدانه تا میان دانه و فنوکریستهای با شکل کامل، پلاژیوکلاز با رد پلی سنتتیکی (۱۲ الی ۲۰ درصد)، سانیدین با ماکل کالسیباد (۵ الی ۸ درصد) و نیمه شکل دار هورنبلند سوخته (۵ الی ۱۰ درصد) در آن دیده می‌شود. تبدیل هورنبلند به کربنات (۳۵-۴۰ درصد) به خوبی مشاهده می‌شود (شکل ۳.ج). دگرسانی کربناتی با شدت متوسط قابل مشاهده است.
- تراکی آندزیت: تراکی آندزیت در بخش مرکزی و جنوب شرقی منطقه گسترش دارد. بافت قابل مشاهده در این واحد پورفیری با زمینه‌ی ریزدانه تا میان دانه و در بعضی بخش‌ها بافت گلوموروپورفیری است (شکل ۳.ج). که در زمینه‌ی، بلورهای فلدسپات قلیایی و پلاژیوکلاز قابل دیدن است. فنوکریستهای پلاژیوکلاز شکل دار با ردی پلی سنتتیکی (۷ الی ۱۰ درصد) و سانیدین شکل دار با رد کالسیباد (۲ الی ۵ درصد) قابل رویت است. تبدیل پلاژیوکلازها به کربنات و رس (۵-۱۰ درصد) نیز مشاهده شد.

جدول ۱ موقعیت جغرافیایی و نوع سنگ‌های تجزیه شده عناصر اصلی، فرعی و کمیاب منطقه گل چشمه.

Sample	X	Y	Rock type
GCH۱۷۱	۶۵۷۲۲۸	۳۹۶۴۹۸۳	Pyroxene andesite
GCH۹۲	۶۵۷۲۶۵	۳۹۶۴۷۸۵	Pyroxene andesite
GCH۱۱۹	۶۵۶۱۱۹	۳۹۶۲۴۴۸	Hornblende pyroxene olivine trachy andesite basalt
GCH۱۵۳	۶۵۳۰۵۷	۳۹۶۸۴۲۵	Hornblende pyroxene olivine trachy andesite basalt
GCH۱۳۱	۶۵۳۷۶۸	۳۹۶۵۲۴۱	Olivine hornblende trachy andesite basalt
GCH۱۷۹	۶۵۲۶۷۱	۳۹۶۵۶۷۰	Olivine hornblende trachy andesite basalt
GCH۶۰	۶۵۴۷۷۳	۳۹۶۶۶۶۹	Pyroxene hornblende andesite
GCH۱۷	۶۵۵۳۵۲	۳۹۶۶۴۹۴	Pyroxene hornblende andesite
GCH۱۴۰	۶۵۴۳۶۵	۳۹۶۸۳۵۳	Hornblende trachy andesite
GCH۳۵	۶۵۴۹۹۴	۳۹۶۶۸۵۵	Hornblende trachy andesite
GCH۱۶۰	۶۵۲۹۷۰	۳۹۶۸۹۷	Hornblende trachy andesite
GCH۱۸۳	۶۵۵۶۳۸	۳۹۶۵۹۹۸	Hornblende trachy andesite
GCH۱۶	۶۵۵۴۱۶	۳۹۶۸۵۰۸	Trachy andesite
GCH۷۱	۶۵۵۷۳۷	۳۹۶۶۲۵۵	Trachy andesite
GCH۵۷	۶۵۴۶۳۲	۳۹۶۷۳۷۷	Hornblende pyroxene trachy andesite
GCH۸۶	۶۵۵۹۹۴	۳۹۶۵۴۱۷	Hornblende pyroxene trachy andesite
GCH۴۰	۶۵۵۲۶۹	۳۹۶۶۹۱۹	Trachy andesite
GCH۳۱	۶۵۵۰۹۲	۳۹۶۷۰۴۹	Trachy andesite
GCH۲۷	۶۵۵۴۴۱	۳۹۶۶۸۴۹	Andesite
GCH۴۹	۶۵۴۸۶۶	۳۹۶۷۲۶۰	Andesite

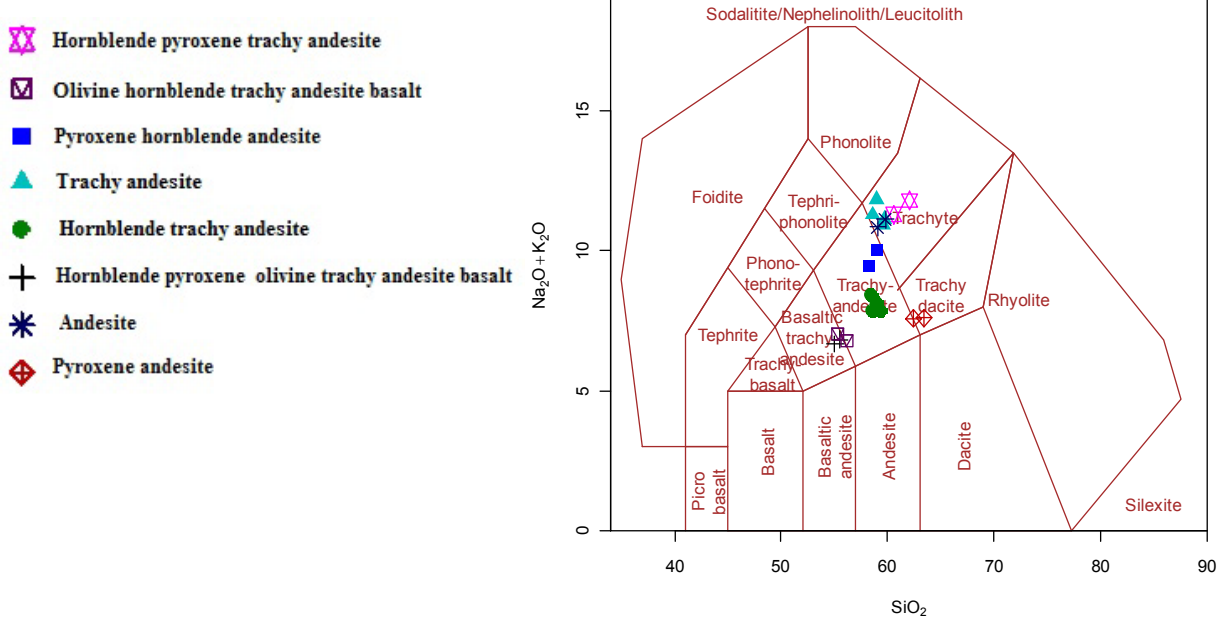
فرعی و کمیاب از نمودارهای عنکبوتی، که از نمودارهای معمول برای مقایسه الگوهای ژئوشیمیایی هستند استفاده شد [۶]. از این نمودارها برای تعیین کیفی نوع سنگ خاستگاه، کیفیت ذوب بخشی سنگ خاستگاه، تبلور جزئی ماجما و نیز جدایش سری‌های ماجمایی استفاده شد. بر این اساس نمودارهایی برای سنگ‌های منطقه ترسیم شدند که نسبت به گوشه‌های اولیه [۷] و عناصر خاکی نادر نسبت به کندریت [۸] به هنجار شده‌اند (شکل ۶ الف و ب).

نمودارهای به هنجار شده نسبت به گوشه‌های اولیه غنی شدگی LILE (به استثنای Ba و درسنگ هورنبلند پیروکسن تراکی آندزیت Sr) و تهی شدگی HFSE را در سنگ‌های منطقه نشان می‌دهند که از سرنشی‌های مهم ماجماهای وابسته به فرورانش هستند [۹-۱۱].

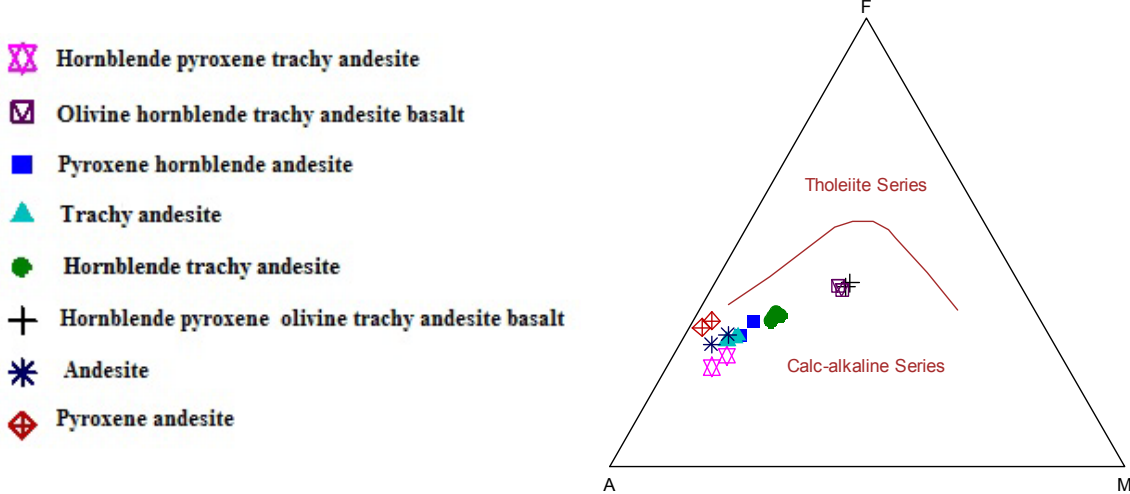
مقدار  $\text{SiO}_2$  در سنگ‌های آتشفسانی منطقه بین ۵۴ تا ۶۳ درصد متغیر است. برای نامگذاری سنگ‌های آتشفسانی از نمودار  $\text{Na}_2\text{O}+\text{K}_2\text{O}$  نسبت به  $\text{SiO}_2$  استفاده شد [۴]، که بنابر این نمودار، سنگ‌های آتشفسانی منطقه در گستره‌ی ترکیبی تراکی آندزیت بازالت، تراکی آندزیت، تراکی داسیت و تراکیت قرار گرفته‌اند (شکل ۴). نمودار AFM، برای تشخیص روندهای جدایش تولئیتی از آهکی-قلیایی به کار می‌رود [۵]، که معروف‌ترین نمودار مثلثی است و نام آن از اکسیدهای پیاده شده روی رأس‌های مثلث گرفته شده است. در این نمودار A شامل قلیایی‌ها ( $\text{Na}_2\text{O}+\text{K}_2\text{O}$ ، F)، F شامل اکسیدهای آهن (MgO و  $\text{FeO}+\text{Fe}_2\text{O}_3$ ) است. که روی این نمودار سنگ‌های آذرین گستره‌ی گل چشمه تماماً در گستره‌ی آهکی-قلیایی قرار می‌گیرند (شکل ۵). به منظور بررسی عناصر

جدول ۲ نتایج تجزیه‌ی ژئوشیمیابی عناصر اصلی، فرعی و خاکی نادر سنگ‌های آتشفشاری منطقه‌ی گل چشم.

sample	GCH ۱۷۱	GCH ۹۲	GCH ۱۱۹	GCH ۱۵۳	GCH ۱۳۱	GCH ۱۷۹	GCH ۶۰	GCH ۱۷	GCH ۱۴۰	GCH ۳۵	GCH ۱۶۰	GCH ۱۸۳	GCH ۱۶	GCH ۷۱	GCH ۵۷	GCH ۸۶	GCH ۴۰	GCH ۲۱	GCH ۲۷	GCH ۴۹	
<b>SiO<sub>2</sub></b>	۶۲,۵۸	۶۱,۵۴	۵۴,۰۱	۵۴,۳۹	۵۵,۰۱	۵۴,۴۶	۵۷,۸۶	۵۷,۱۲	۵۷,۷۱	۵۷,۳۵	۵۸,۰۱	۵۷,۲۵	۵۷,۸۶	۵۷,۴۲	۶۰,۸۸	۵۹,۳۵	۵۸,۳۶	۵۸,۱۲	۵۵,۴۷	۵۵,۱۲	
<b>Al<sub>2</sub>O<sub>3</sub></b>	۱۷,۶۹	۱۷,۵۹	۱۵,۹۱	۱۶,۰۵	۱۵,۸۶	۱۵,۶۲	۱۷,۹۹	۱۸,۰۳	۱۸,۲۴	۱۸,۳۵	۱۸,۰۲	۱۸,۴۲	۱۷,۰۸	۱۶,۸۹	۱۷,۵۲	۱۸,۱۳	۱۷,۶۳	۱۷,۵۱	۱۵,۲۴	۱۵,۳۵	
<b>FeO</b>	۳۵۰	۳۸۲	۸۱۲	۷۹۲	۷۵۳	۷۴۵	۴۸۰	۵۲۵	۵۱۹	۵۱۲	۵۲۳	۵۱۷	۵۲۱	۴۲۲	۴۲۴	۴۲۷	۴۲۲	۴۲۵	۴۲۶	۴۷۸	
<b>CaO</b>	۵۲۷	۵۸۲	۶۸۷	۶۵۲	۷,۰۲	۷,۲۹	۴,۲۶	۴,۶۲	۵,۱۷	۵,۲۱	۵,۲۴	۵,۲۷	۲,۸۶	۳,۴۲	۱,۶۸	۱,۸۹	۲,۰۱	۲,۹۷	۲,۹۸	۵,۰۲	
<b>Na<sub>2</sub>O</b>	۴,۴۸	۴,۰۳	۳,۵۶	۳,۴۵	۳,۲۹	۳,۳۵	۴,۳۴	۴,۱۲	۳,۹۴	۴,۱۵	۳,۵۹	۳,۷۵	۴,۷۵	۴,۳۵	۴,۲۶	۴,۱۲	۳,۸۷	۳,۶۷	۲,۹۸	۲,۸۷	
<b>K<sub>2</sub>O</b>	۲,۰۲	۲,۹۵	۲,۹۹	۳,۲۵	۳,۲۸	۳,۵۷	۵,۴۹	۵,۱۵	۴,۰۲	۳,۸۱	۴,۰۸	۳,۹۲	۶,۸۹	۶,۷۲	۷,۳۴	۶,۹۵	۷,۰۲	۷,۰۱	۷,۴۱	۷,۲۵	
<b>MgO</b>	۰,۷۷	۰,۴۲	۰,۲۴	۰,۱۰	۰,۰۲	۰,۰۱	۰,۰۱	۰,۰۲	۰,۰۱	۰,۰۱	۰,۰۱	۰,۰۱	۰,۰۵	۰,۰۷	۰,۰۵	۰,۰۶	۰,۰۱	۱,۶۹	۱,۷۸	۰,۹۸	۱,۲۵
<b>Cu</b>	۰,۰۲	۰,۰۲	۰,۰۱	۰,۰۱	۰,۰۱	۰,۰۱	۰,۰۱	۰,۰۲	۰,۰۱	۰,۰۱	۰,۰۱	۰,۰۱	۰,۰۱	۰,۰۱	۰,۰۱	۰,۰۱	۰,۰۱	۰,۰۱	۰,۰۱	۱,۸۱	
<b>TiO<sub>2</sub></b>	۱,۴۲	۱,۳۵	۰,۸۹۱	۰,۰۴۴	۰,۸۴۰	۰,۹۱۵	۰,۹۶۸	۱,۰۷۱	۰,۸۶۹	۰,۸۶۴	۰,۸۶۷	۰,۸۶۲	۱,۰۱۱	۱,۰۰۹	۰,۹۱۴	۱,۰۵۰	۰,۹۱۸	۰,۸۹۹	۱,۱۰۴	۱,۳۴۰	
<b>MnO</b>	۰,۰۸۰	۰,۰۶۹	۰,۱۱۲	۰,۱۳۱	۰,۰۹۸	۰,۰۷۸	۰,۰۶۹	۰,۰۵۹	۰,۰۴۵	۰,۰۴۸	۰,۰۴۲	۰,۰۴۶	۰,۱۲۴	۰,۱۰۵	۰,۰۴۰	۰,۰۵۱	۰,۰۷۸	۰,۰۸۷	۰,۰۷۳	۰,۰۸۷	
<b>P<sub>2</sub>O<sub>5</sub></b>	۰,۳۳	۰,۳۹۲	۰,۳۴۱	۰,۲۱۳	۰,۳۶۲	۰,۲۲۳	۰,۴۵۴	۰,۰۲۱	۰,۴۱۸	۰,۴۵۵	۰,۴۱۸	۰,۴۲۸	۰,۷۹۲	۰,۳۲۲	۰,۳۵۵	۰,۵۱۳	۰,۵۳۲	۰,۴۶۸	۰,۴۲۳		
<b>S</b>	۰,۰۹	۰,۰۸	۰,۰۵۴	۰,۰۵۷	۰,۰۰۹	۰,۰۰۸	۰,۰۱۲	۰,۰۱۳	۰,۰۱۲	۰,۰۱۵	۰,۰۰۸	۰,۰۰۹	۰,۰۱۸	۰,۰۳۵	۰,۰۱۱	۰,۰۱۹	۰,۰۰۸	۰,۰۰۹	۰,۰۱۷	۰,۰۱۷	
<b>L.O.I</b>	۱,۰۴	۱,۲۵	۱,۶۲	۱,۷۸	۱,۸۷	۱,۰۵	۱,۷۳	۱,۰۶	۱,۰۶	۱,۰۷	۱,۰۵	۱,۰۸	۱,۰۷	۱,۰۳	۱,۰۶	۱,۰۱	۱,۰۷۲	۲,۰۳	۲,۱۰	۴,۴۰	۴,۶۵
<b>Total</b>	۹۹,۷۲	۹۹,۸۶	۹۹,۸۲	۹۹,۸۳	۹۹,۸۰	۹۹,۷۱	۹۹,۷۷	۹۹,۸۱	۹۹,۶۶	۹۹,۵۲	۹۹,۷۱	۹۹,۵۳	۹۹,۷۱	۹۹,۷۲	۹۹,۷۷	۹۹,۷۱	۹۹,۷۶	۹۹,۵۱	۹۹,۷۶		
<b>Ba</b>	۲۸۷	۲۹۴	۳۸۳	۳۹۷	۳۷۶	۳۸۱	۵۱۵	۵۵۲	۴۸۲	۴۷۵	۴۵۱	۴۵۳	۵۵۱	۵۲۵	۴۸۵	۴۳۵	۵۷	۵۵۲	۴۹۷	۵۰	
<b>Be</b>	۲	۲	۱	۲	۱	۱	۲	۲	۱	۲	۲	۱	۱	۱	۲	۱	۲	۲	۴	۳	
<b>Co</b>	۴,۳	۵۶	۲۷,۴	۲۸,۲	۲۸,۷	۲۹,۱	۹,۸	۱۰,۱	۱۲,۱	۱۲,۸	۱۲,۷	۱۳,۱	۸,۰	۹,۱	۴,۸	۵,۲	۷,۴	۶,۹	۶,۱	۵,۸	
<b>Cs</b>	۱,۱	۱,۵	۱,۹	۲,۴	۲,۱	۲,۸	۲,۹	۲,۹	۳,۱	۱,۹	۱,۵	۱,۳	۱,۲	۲,۳	۲,۸	۲,۶	۲,۲	۲,۹	۲,۷	۲,۸	
<b>Ga</b>	۱۹,۶	۱۸,۳	۱۶,۱	۱۵,۹	۱۵,۶	۱۶,۲	۱۵,۱	۱۵,۶	۱۸,۲	۱۸,۸	۱۷,۲	۱۶,۸	۱۵,۵	۱۶,۱	۱۶,۰	۱۵,۵	۱۴,۳	۱۳,۷	۱۴,۱		
<b>Hf</b>	۷,۰	۷,۴	۲,۹	۲,۸	۲,۹	۲,۹	۳,۷	۳,۶	۳,۳	۳,۵	۳,۵	۳,۴	۳,۷	۴,۱	۴,۲	۳,۷	۳,۸	۴,۲	۳,۳		
<b>Nb</b>	۷۷,۹	۵۶,۲	۹,۹	۱۰,۴	۱۱,۵	۱۰,۸	۱۵,۲	۱۵,۸	۱۴,۵	۱۴,۱	۱۴,۳	۱۴,۶	۱۶,۵	۱۶,۲	۱۸,۸	۱۵,۸	۱۵,۳	۱۵,۷			
<b>Rb</b>	۸۴,۰	۷۷,۱	۷۰,۸	۷۲,۴	۷۶,۴	۷۹,۱	۱۳۵,۴	۱۴۲,۱	۹۷,۰	۱۱۰,۲	۹۶,۱	۸۲,۲	۱۶۰,۴	۱۵۵,۲	۱۸۲,۲	۱۷۳,۱	۱۵۸,۷	۱۴۸,۹	۱۴۴,۹	۱۴۰,۵	
<b>Sn</b>	۳	۲	۲	۱	۱	۲	۱	۲	۲	۲	۲	۲	۲	۲	۲	۲	۲	۱	۱	۱	
<b>Sr</b>	۴۰۷,۹	۴۳۸,۲	۶۱۴,۸	۰,۰۳	۰,۰۳	۰,۰۳	۰,۰۳	۰,۰۳	۰,۰۳	۰,۰۳	۰,۰۳	۰,۰۳	۰,۰۳	۰,۰۳	۰,۰۳	۰,۰۳	۰,۰۳	۰,۰۳	۰,۰۳	۰,۰۳	
<b>Ta</b>	۱,۸	۱,۶	۰,۶	۰,۷	۰,۷	۰,۸	۰,۹	۰,۸	۰,۸	۰,۹	۰,۹	۰,۹	۰,۸	۱,۱	۱,۰	۱,۲	۱,۱	۰,۹	۱,۰	۰,۹	
<b>Th</b>	۹,۱	۹,۵	۳,۷	۴,۳	۴,۱	۴,۸	۶,۱	۶,۲	۴,۹	۵,۱	۵,۰	۴,۸	۷,۲	۶,۹	۷,۸	۷,۴	۶,۷	۷,۱	۶,۲	۶,۳	
<b>Nb</b>	۲,۷	۲,۵	۱,۱	۱,۳	۱,۱	۱,۲	۱,۶	۱,۴	۱,۴	۱,۶	۱,۵	۱,۴	۱,۴	۲,۳	۲,۵	۱,۱	۲,۳	۲,۴	۲,۴	۲,۱	
<b>V</b>	۱۱۲	۱۲۰	۲۵۹	۲۶۲	۲۵۲	۲۴۳	۲۹۸	۳۱۰	۲۶۵	۲۵۶	۲۶۹	۲۸۵	۳۹۵	۳۷۵	۲۲۲	۲۵۹	۳۶۱	۳۴۵	۲۷۹	۲۴۲	
<b>W</b>	۱,۴	۱,۶	۱,۵	۱,۹	۲,۹	۳,۱	۱,۳	۱,۷	۱,۵	۱,۸	۱,۷	۱,۵	۱,۴	۱,۶	۲,۰	۱,۸	۱,۸	۱,۶	۲,۳	۲,۷	
<b>Zr</b>	۳۰,۶,۱	۲۹,۷,۲	۱۰,۸,۶	۱۲,۱,۵	۱۱,۹,۸	۱۰,۹,۱	۱۰,۷,۹	۱۰,۹,۱	۱۰,۷,۹	۱۰,۸,۵	۱۰,۹,۱	۱۰,۷,۹	۱۰,۷,۹	۱۰,۷,۹	۱۰,۷,۹	۱۰,۷,۹	۱۰,۷,۹	۱۰,۷,۹	۱۰,۷,۹	۱۰,۷,۹	
<b>Y</b>	۲۰,۸	۲۱,۱,۲	۱۹,۳	۱۸,۹	۱۹,۴	۱۸,۸	۱۶,۹	۱۷,۱	۱۷,۱	۱۶,۸	۱۷,۹	۱۷,۲	۱۸,۶	۱۸,۳	۱۸,۰	۱۷,۴	۱۷,۱	۱۶,۷	۱۷,۲		
<b>La</b>	۲۶,۳	۲۵,۲	۱۵,۴	۱۵,۸	۱۷,۱	۱۶,۸	۲۲,۶	۲۱,۷	۲۱,۳	۲۱,۵	۲۰,۹	۲۱,۲	۲۴,۷	۲۲,۱	۲۲,۲	۲۴,۱	۲۲,۸	۲۲,۳	۲۲,۹		
<b>Ce</b>	۷۶,۹	۷۰,۷	۲۲,۰	۲۲,۲	۲۶,۰	۳۵,۲	۲۲,۶	۴۳,۲	۴۲,۶	۴۱,۹	۴۱,۶	۴۲,۳	۴۸,۳	۴۷,۹	۴۵,۶	۴۴,۹	۴۵,۷	۴۵,۲	۴۵,۸	۴۴,۹	
<b>Pr</b>	۸,۹۶	۸,۰۲	۴,۳۵	۴,۷۱	۴,۶۲	۴,۴۴	۵,۲۵	۵,۲۷	۵,۲۴	۵,۱	۵,۱۴	۴,۹۳	۵,۷۱	۵,۰۴	۵,۳۶	۵,۰۵	۵,۷۲	۵,۴۵	۵,۰۱	۴,۸۹	
<b>Nd</b>	۳۵,۸	۳۶,۶	۱۷,۷	۱۸,۱	۱۸,۶	۱۸,۴	۱۹,۹	۲۰,۲	۱۹,۲	۱۸,۸	۲۰,۲	۲۰,۴	۲۲,۶	۲۰,۶	۱۹,۹	۲۱,۴	۲۲,۲	۲۲,۳	۲۲,۵		
<b>Sm</b>	۷,۱۴	۷,۰۱	۴,۱۲	۳,۹۲	۳,۸۸	۴,۰۷	۲,۷۵	۳,۸۳	۴,۱۱	۳,۹۵	۳,۹۹	۴,۰۵	۴,۳۹	۴,۰۹	۳,۷۱	۳,۹۱	۳,۸۶	۴,۰۱	۳,۸۹		
<b>Eu</b>	۱,۶۹	۱,۰۸	۱,۲۲	۱,۱۷	۱,۱۵	۱,۱۱	۱,۰۵	۰,۹۸	۱,۱۵	۱,۱۹	۱,۱۵	۱,۱۳	۱,۱۱	۱,۱۵	۰,۹۱	۱,۰۸	۱,۱۸	۱,۲۱	۱,۰۹	۱,۱۲	
<b>Gd</b>	۶,۶۹	۶,۳۵	۴,۱۲	۳,۹۳	۴,۲۲	۴,۱۷	۳,۵۳	۳,۶۱	۳,۷۲	۳,۶۸	۳,۸۰	۳,۷۵	۳,۶۷	۳,۵۲	۳,۴۹	۳,۶۲	۳,۵۷	۳,۴۹			
<b>Tb</b>	۱,۰۴	۱,۱۱	۰,۷۱	۰,۵۶	۰,۶۵	۰,۶۱	۰,۵۷	۰,۵۹	۰,۵۸	۰,۵۸	۰,۵۹	۰,۶۰	۰,۶۰	۰,۶۳	۰,۵۱	۰,۵۶	۰,۵۸	۰,۵۷	۰,۵۶		
<b>Dy</b>	۰,۶۴	۰,۲۳	۲,۴۴	۲,۶۱	۲,۷۴	۲,۵۴	۲,۹۱	۳,۱۱	۳,۳۶	۳,۲۱	۳,۲۳	۳,۳۹	۳,۵۱	۲,۳۳	۲,۹۷	۳,۰۸	۳,۳۲	۳,۴۵	۲,۰۱	۲,۹۶	
<b>Ho</b>	۱,۱۰	۱,۰۵	۰,۷۴	۰,۷۲	۰,۷۵	۰,۷۲	۰,۶۰	۰,۶۲	۰,۷۲	۰,۶۸	۰,۶۹	۰,۷۲	۰,۶۵	۰,۶۳	۰,۶۵	۰,۶۳	۰,۶۶	۰,۶۳	۰,۶۱	۰,۷۷	
<b>Er</b>																					



شکل ۴ نامگذاری سنگ‌های آتشفشاری منطقه گل چشم [۴].



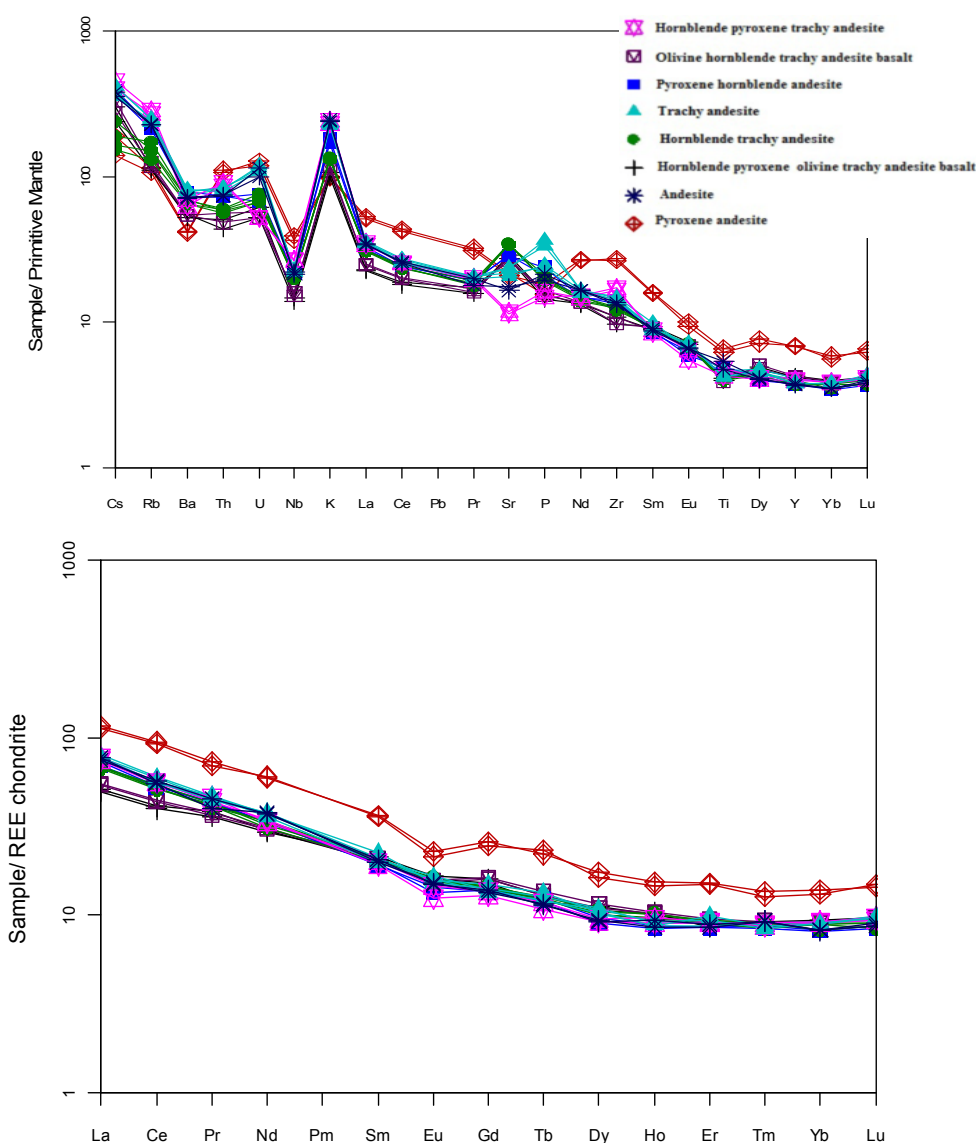
شکل ۵ تعیین سری مagmaی سنگ‌های منطقه بر اساس نمودار AFM [۵].

لیتوسفر که از Nb فقیر و حاوی LILE بالایی هستند، به گوه-ی گوشه‌ای افزوده می‌شوند [۱۵، ۱۶]. در انتهای دوره‌ی تریاس و آغاز ژوراسیک، صفحه‌ی ایران مرکزی به عنوان یکی از نواحی کیمیرین به صفحه توران (بخشی از ابر قاره‌ی اوراسیا) جوش خورده است. این حادثه در دوره‌ی کرتاسه سبب پایدار و باقی ماندن حرکت‌های زمین‌ساختی و تشکیل چندین حوضه با عمر کوتاه از جمله سبزوار، سیستان و نایین شده است [۱۷]. این حوضه‌ها با چندین گستره‌ی افیولیتی که ایران مرکزی را قطع کرده‌اند (سبزوار، سیستان و نایین - بافت) مشخص می-

ویژگی عناصر مagmaهای کمان می‌تواند در نتیجه ورود اجزای LILE موجود در پوسته‌ی فرورونده به درون گوشه‌ی بالای آن و دگرنهادی به وجود آید یا در اثر ذوب بخشی پایین گوشه غنی شده حاصل شود. غنی‌شدگی در عناصر LREE نسبت به عناصر HREE در تمامی سنگ‌های آتشفشاری منطقه از خصوصیات مagmaهای تشکیل شده در منطقه‌های فرورانش تی، Rb و Nb می‌تواند نشان از شکل‌گیری سنگ‌ها در منطقه فرورانش باشد [۱۱ و ۱۴]. در مناطق فرورانش شاره‌های آزاد شده از

بی‌هنجری مثبت و کمتر از یک بی‌هنجری منفی است [۱۹]. مقدار این نسبت برای سنگ‌های منطقه گل چشمی از -۰.۹۸-۰.۷۲ متغیر است وجود بی‌هنجری منفی Eu از ویژگی‌های گدازه‌های آهکی-قلیایی وابسته به فرورانش است و بیانگر حضور پلازیوکلаз در سنگ خاستگاه مانگماست [۹]. در نمودارهای عناصر خاکی نادر بهنجر شده نسبت به کندریت، غنی‌شدگی نسبی از عناصر خاکی نادر سبک نسبت به عناصر خاکی نادر سنگین در تمام واحدهای آتشفشانی دیده می‌شود (شکل ۶ ب).

شوند که نشان دهنده‌ی اقیانوس‌های کوچکی در آن (شاخه‌هایی از اقیانوس نئوتیس) است که سنگ‌های مورد بحث وابسته به فرورانش شاخه‌ای از اقیانوس نئوتیس در این منطقه است. در سنگ‌های آتشفشانی منطقه، تهی‌شدگی عنصر Ba می‌تواند مستقل از درجه‌ی اشباع مانگمای آن‌ها از سیلیس و میزان ذوب باشد [۱۸]. غنی‌شدگی این سنگ‌ها از U و Th به علت آلودگی پوسته‌ای یا وابسته به سرشی‌های خاستگاه است. در نمونه‌های منطقه مورد بررسی بی‌هنجری منفی در عنصر Eu دیده می‌شود و مقدار  $\text{Eu}/\text{Eu}^*$  در همه‌ی نمونه‌ها کمتر از یک است. هرگاه مقدار  $\text{Eu}/\text{Eu}^*$  بیشتر از یک باشد



شکل ۶ (الف) الگوی عناصر فرعی و خاکی نادر ناسازگار بهنجر شده نسبت به گوشتی اولیه سنگ‌های آتشفشانی گستره گل چشمی داده‌های گوشتی اولیه از [۷] (ب) الگوی عناصر خاکی نادر بهنجر شده نسبت به کندریت سنگ‌های آتشفشانی گستره گل چشمی داده‌های کندریت از [۸].

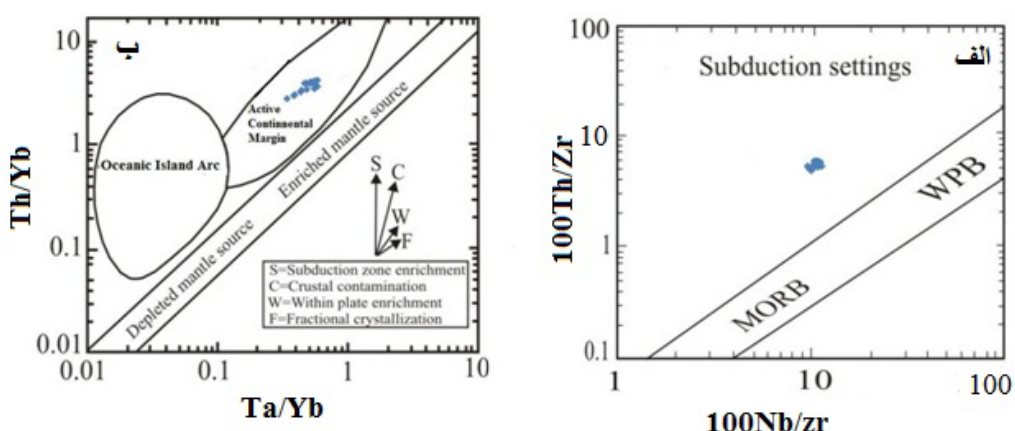
آتشفشاری منطقه‌ی مورد بررسی دارای نرخ ذوب بخشی پایین از ۲ تا ۵ درصد بوده وجود اندک گارنت در خاستگاه با نسبت پایین<sub>N</sub> (La/Yb) و Ce/Yb) همخوانی دارد. بر این اساس نمونه‌های بررسی شده در منطقه‌ی گل چشمه در گستره‌ی اسپینل-گارنت لرزولیتی گوشه‌ی غنی شده با ذوب پایین ۲ الی ۵ درصد قرار می‌گیرند بنابراین به نظر می‌رسد که گدازه‌ی منطقه گل چشمه از ذوب بخشی گوه گوشه‌های که در اثر تماس با شاره‌های مشتق شده از پوسته اقیانوسی فرورونده نئوتیس، از عناصر کمیاب غنی شده است ریشه گرفته باشند.

برداشت

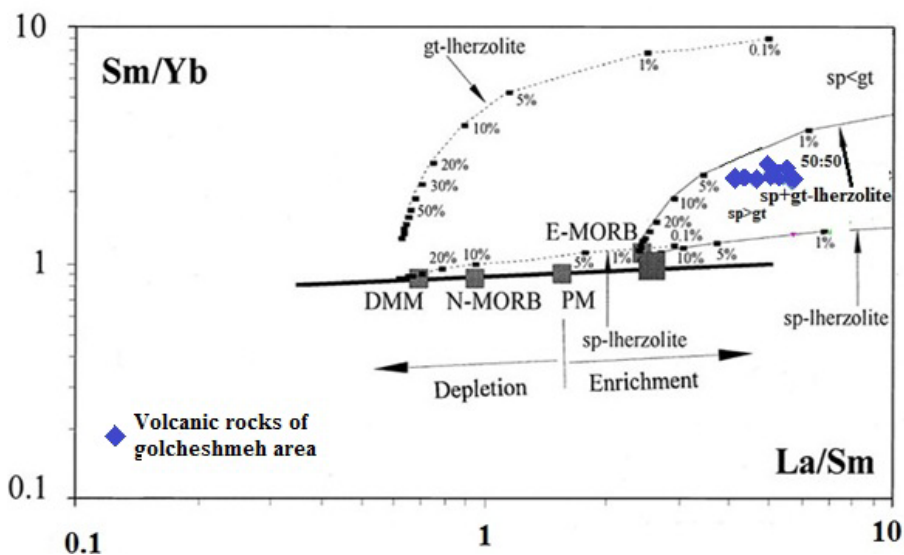
سنگ‌های آتشفشاری منطقه‌ی گل چشمه مشتمل بر آندزیت، تراکی آندزیت و تراکی آندزیت بازالتی هستند که توف و سنگ آهک نیز در منطقه رخنمون دارند. این سنگ‌ها دستخوش دگرسانی آرژیلیک، کربناتی و پروپلیتیک شده‌اند و بافت اصلی آن‌ها پورفیری با زمینه‌ی ریز دانه تا میان دانه و گاهی شیشه‌ای است که بافت‌های فرعی بادامکی، جریانی، پویی کلیتیک، گلومرپورفیری نیز در بعضی بخش‌ها قابل مشاهده است. فنوکریست‌های پلاژیوکلاز، پیروکسن و هورنبلند سازندگان اصلی این سنگ‌ها هستند. براساس داده‌های ژئوشیمیایی عناصر اصلی و کمیاب، سنگ‌های آتشفشاری محدود مورد بررسی جزء بافت آهکی- قلایی محسوب می‌شوند. نمودارهای زمین- ساختی و ژئوشیمی کل سنگ‌های منطقه بیانگر محیط زمین- ساختی قوس آتشفشاری قاره‌ای است. غنی‌شدگی در عناصر LREE نسبت به عناصر HREE در تمامی سنگ‌های آتشفشاری منطقه دیده می‌شود که از سرشی‌های ماقماهای تشکیل شده در منطقه‌های فرورانشی حاشیه‌ی قاره‌ای است. بیهنجاری منفی عناصر Rb، Ti و Nb در سنگ‌های منطقه می‌تواند نشان از شکل‌گیری سنگ‌ها در منطقه‌ی فرورانش باشد. در مناطق فرورانش شاره‌های آزاد شده از لیتوسфер که از Nb فقری و حاوی LILE بالایی هستند، به گوهی گوشه‌های افزوده می‌شوند. ماقماهای تشکیل دهنده‌ی سنگ‌های آتشفشاری در مناطق فرورانش معمولاً از گوهی گوشه‌های، شاره‌ها و گدازه‌های آبدار مشتق از پوسته اقیانوسی فرورو ریشه می‌گیرند [۲۵]. درجه‌ی ذوب بخشی پایین در گوشه به عنوان خاستگاه تشکیل دهنده‌ی ماقماهای سنگ‌های منطقه، به وسیله‌ی تمرکز بالای عناصر فرعی ناسازگار و غنی‌شدگی LREE نسبت به HREE تشخیص داده شد. بر اساس تجزیه شیمیایی،

### خاستگاه زمین‌ساختی

میزان عناصر اصلی و فرعی سنگ‌های آذرین در جایگاه‌های زمین‌ساختی مختلف دارای تفاوت‌هایی هستند به همین دلیل جایگاه زمین‌ساختی در حل مسائل زایش سنگ‌ها اهمیت دارد. برای تعیین جایگاه زمین‌ساختی سنگ‌های منطقه از نمودارهای زیر استفاده شد. در نمودار Th/Zr ۱۰۰Nb/Zr [۲۱، ۲۰] نیز سنگ‌های منطقه در جایگاه فرورانش قرار می‌گیرند (شکل ۷الف)، و نمودار Th/Yb در مقابل Ta/Yb [۲۱] پراکنش نمونه‌ها در گستره حاشیه قاره فعال قرار می‌گیرد (شکل ۷ب)، این شکل همچنین نشان می‌دهد سنگ‌های منطقه از روند تبلور جدایشی پیروی می‌کنند که این می‌تواند دلیلی بر علت وجود سنگ‌های آتشفشاری منطقه از ترکیب تراکی آندزیت بازالت تا تراکیت در منطقه باشد. درجه‌ی ذوب بخشی پایین در گوشه اولیه، به وسیله‌ی تمرکز بالای عناصر فرعی ناسازگار و غنی‌شدگی LREE نسبت به تشخیص داده شد. همچنین با نسبت<sub>N</sub> (La/Yb) می‌توان حضور گارنت و در نتیجه عمق ذوب را برآورد کرد. این نسبت در سنگ‌های آتشفشاری منطقه بسیار پایین (حدود ۳/۹-۵/۳) است که کم بودن گارنت در خاستگاه ماقما را نشان می‌دهد. نسبت<sub>N</sub> (Ce/Yb) نیز حکایت از عمق و نرخ ذوب ماقماهای مادر تا ۷) که نشان از نرخ ذوب پایین و عمق کم شکل‌گیری ماقما دارد [۲۲]. برای مشخص کردن نرخ ذوب و عمق شکل‌گیری ماقماهای تشکیل دهنده‌ی سنگ‌های منطقه‌ی مورد بررسی از نمودار Sm/Yb-La/Sm نیز استفاده شد(شکل ۸). در واقع این نمودار به عنوان نمودار MREE/HREE در مقابل LREE/MREE بود که تضمین کننده‌ی خاستگاه ذوب گارنت-لرزولیت یا اسپینل-لرزولیت است. زمانی که اسپینل-لرزولیت در معرض ذوب بخشی قرار می‌گیرد، گوشه و گدازه‌ی حاصل از گوشه، مقادیر یکسان Sm/Yb داشت، در حالی که مقدار La/Sm با افزایش درجه‌ی ذوب بخشی کاهش می‌یابد [۲۳]، از طرفی عنصر Yb دارای ضریب توزیع بالا در کانی گارنت نسبت به اسپینل است، بنابراین ذوب بخشی گوشه گارنت‌دار، روندی آبگونی تولید می‌کند که به طور مشخص، از روند گدازه‌ی گوشه اسپینل دار تمیز داده می‌شود. این پدیده با توجه به نمودار شکل ۸ خاستگاه ذوب بخشی اسپینل- گارنت لرزولیت را برای این سنگ‌های آتشفشاری مشخص می‌کند [۲۴]. چنانکه مشخص است سنگ‌های



شکل ۷ تعیین موقعیت زمین‌ساختی سنگ‌های آتشفشانی منطقه‌ی گل چشممه (الف) با استفاده از عناصر کمیاب  $\text{Th}/\text{Zr}$  نسبت به  $\text{Nb}/\text{Zr}$  نمونه‌ها در گستره‌ی منطقه‌ی فروراش قرار می‌گیرند [۲۱، ۲۰]. ب) و در نمودار عناصر نادر  $\text{Th}/\text{Yb}$  نسبت به  $\text{Ta}/\text{Yb}$  در گستره‌ی حاشیه قاره فعال واقع می‌شود [۲۱، ۱۶].



شکل ۸ نمودار  $\text{Sm}/\text{Yb}$  در مقابل  $\text{La}/\text{Sm}$ . منحنی‌های ذوب در این نمودار براساس گوشه‌های اسپینل-لرزولیتی و گوشه‌های گارنت لرزولیتی محاسبه شده‌اند، نمونه‌های مورد بررسی در گستره اسپینل-گارنت لرزولیتی قرار می‌گیرند [۲۳].

- [2] Berberian M., King G. C. P., "Towards a paleogeography and tectonic evolution of Iran", Canadian Journal of Earth Sciences, 18 (1981) 210-265.
- [3] Alavi M., "Tectonic map of the Middle East, scale 1:2,900,000", Geological Survey of Iran (1991).
- [4] Middlemost E. A. K., "Naming materials in the magma igneous system", Earth-Science Reviews, 37 (1994) 215–224.
- [5] Irvine T. N., Bargar W. R. A., "A guide to the chemical classification of the common volcanic rocks", Canadian Journal of Earth Sciences, 8 (1971) 523-548.

سنگ‌های مورد بررسی دارای  $\text{K}_2\text{O}$  بالا و  $\text{MgO}$  پایین هستند، این ویژگی شیمیایی و نیز روند قرارگیری سنگ‌ها در نمودار  $\text{Th}/\text{Yb}$  در مقابل  $\text{Ta}/\text{Yb}$  (شکل ۷ ب) می‌تواند نشانی از جدایش مagmaی و تبلور جدایشی در سنگ‌های منطقه باشد. نتایج عناصر خاکی نادر نشان می‌دهد که مagmaی مولد سنگ‌های آتشفشانی منطقه از نظر خاستگاه از اسپینل-گارنت لرزولیتی ریشه گرفت که مقدار گارنت آن کم و دارای آلودگی پایین پوسته‌ای است.

#### مراجع

- [1] Ruttner A., Stöcklin J., "Geological map of Iran, scale 1:1000, 000", Geological Survey of Iran" (1967).

- bearing lithospheric mantle source, *Western Anatolia*", Journal of Volcanology and Geothermal Research, 185(3) (2009) 181–202.
- [17] Sengor A. M. C., "A new model for the late Palaeozoic-Mesozoic tectonics evolution of Iran and implications for Oman. In: Robertson, A. H. F., Searle, M. P. and Ries, A. C. (Eds.) *the geology and tectonics of the Oman region*", Geological Society of London Special Publication 49(1990) 797-831.
- [18] Avanzinelli R., Elliott T., Tommasini S., Conticeli S., "Constraints on the genesis of potassium-rich Italian volcanic rocks form U/Th disequilibrium", Journal of petrology, 49 (2008) 195-223.
- [19] Taylor S. R., McLennan S. M, "The continental crust, its composition and evolution, an examination of the geochemical record preserved in sedimentary rocks", Blackwell, Oxford (1985) 312 pp.
- [20] Pearce J.A., "Role of sub-continental lithosphere in magma genesis at active continental margins. In: Hawkesworth C.J., Nurry M.L. (Eds.), *Continental basalts and Mantle Xenoliths*", Shiva, Nantwich (1983) Pp. 230-249.
- [21] Asiabanza A, Bardintzeff JM, Kananian A, Rahimi G., "Post-Eocene volcanics of the Abazar district, Qazvin, Iran: Mineralogical and geochemical evidence for a complex magmatic evolution", Journal Asian Earth Science, 45(2012) 79–94
- [22] Aldanmaz E., Pearce J.A., Thirlwall M.F., Mitchell J.G., "Petrogenetic evolution of late Cenozoic, postcollision volcanism in western Anatolia, Turkey", Journal of Volcanology and Geothermal Research, 102(2000) 67– 95.
- [23] Cotton J., Le Dez A., Bau, M., Caroff M., Maury R. C., Dulski P., Fourcade S., Bohn M., Brousse R., "Origin of anomalous rare\_earth element and yttrium enrichments in subaerially exposed basalts, evidence from French Polynesia", Chemical Geology, 119 (1995) 115-138.
- [24] Shaw D.M., "Trace element fractionation during anatexis", Geochim et Cosmochim. Acta, 34(1970) 237-243.
- [25] Pearce J.A., Peate D.W., "Tectonic implications of the composition of volcanic arc magmas", Annual Review of Earth and Planetary Sciences, 23 (1995) 251-285.
- [6] Thompson R. N., "Magmatism of the British Tertiary volcanic province", Scottish Journal of Geology, 18(1982) 49-107.
- [7] Sun S.S., Mc Donough W.F., "Chemical and isotopic systematic of oceanic basalts: implications for mantle composition and processes. In: Saunders A.D., Norry M.J. (Eds.), *Magmatism in the Ocean basins*", Geological Society of London special publication, 42 (1989) 313–345.
- [8] Boynton W.V., "Cosmochemistry of rare earth elements: meteorite studies", P.Henderson, (Editor), Rare Earth Element Geochemistry, Elsevier, Amsterdam, (1984) 63–114.
- [9] Yang W., Li Sh., "Geochronology and geochemistry of the Mesozoic volcanic rocks in Liaoning: Implications for lithospheric thinning of the North China Craton", Lithos, 102 (2008) 88-17.
- [10] Kuscu G.G., Geneli F., "Review of post-collisional volcanism in the central Anatolian volcanic province (Turkey), with special reference to the Tepekoval volcanic complex", International Journal of Earth Sciences, 99 (2010) 593-621.
- [11] Rivera M., Thouret J.C., Gourgaud A., "The 2006–2009 activity of the Ubinas volcano (Peru): Petrology of the 2006 eruptive products and insights into genesis of andesite magmas, magma recharge and plumbing system", Journal of Volcanology and Geothermal Research, 270 (2014) 122–141.
- [12] Brewer T. S., Daly J. S., Åhäll K.-I., "Contrasting magmatic arcs in the alaeoproterozoic of the south-western Baltic Shield", Precambrian Research, 92(1998) 297-315.
- [13] Kampunzu A. B., Tombale A. R., Zhai M., Bagai Z., Majaula T., Modisi M. P., "Major and trace element geochemistry of plutonic rocks from Francistown, NE Botswana: evidence for a Neoarchaean continental active margin in the Zimbabwe craton", Lithos, 71(2)(2003) 431-60.
- [14] Wilson B. M., "Igneous petrogenesis a globaltectonic approach", Springer, first edition, (2007) 485pp.
- [15] Borg L.E., Clyne M.A., Bullen T.D., "The variable role of slab-derived fluids in the generation of a suite of primitive calc-alkaline lavas from the Southernmost Cascades, California", Canadian mineralogist, 35(1997) 425–452.
- [16] Helvacı C., Ersoy E.Y., Sözbilir H., Erkül F., Sümer Ö., Uzel B., "Geochemistry and 40Ar/39Ar geochronology of Miocene volcanic rocks from the Karaburun Peninsula: Implications for amphibole-